Eingabe: Farbmetrisches Reflexions-System NRS11
für Buntton *h* = lab*h = 24/360 = 0.067*
lab*tch* und *lab*nch

D65: Buntton R
LCH*Ma: 53 84 24
rgb*Ma: 1.0 0.0 0.0

Dreiecks-Helligkeit

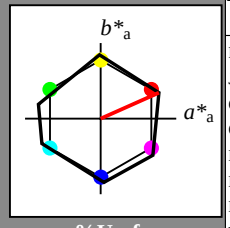

%Umfang
u^*_{rel} = 119

NRS11; adaptierte CIELAB-Daten

	$L^*=L^*_a$	a^*_a	b^*_a	$C^*_{ab,a}$	$h^*_{ab,a}$
R_{Ma}	53.2	77.06	34.32	84.36	24
J_{Ma}	53.2	−1.51	84.38	84.39	91
G_{Ma}	53.2	−82.27	18.98	84.44	167
$G50B_{Ma}$	53.2	−77.72	−32.98	84.44	203
B_{Ma}	53.2	4.37	−84.28	84.41	273
$B50R_{Ma}$	53.2	69.09	−48.41	84.37	325
N_{Ma}	10.99	0.0	0.0	0.0	0
W_{Ma}	95.41	0.0	0.0	0.0	0
R_{CIE}	39.92	58.69	27.98	65.01	25
J_{CIE}	81.26	−2.9	71.56	71.62	92
G_{CIE}	52.23	−42.45	13.59	44.59	162
B_{CIE}	30.57	1.35	−46.48	46.51	272

%Regularität
$g^*_{H,rel}$ = 47
$g^*_{C,rel}$ = 100

Ausgabe: Farbmetrisches Reflexions-System ORS18
für Buntton *h* = lab*h = 38/360 = 0.105*
lab*tch* und *lab*nch

D65: Buntton O
LCH*Ma: 48 83 38
rgb*Ma: 1.0 0.0 0.0

Dreiecks-Helligkeit

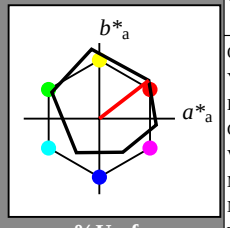

%Umfang
u^*_{rel} = 93

ORS18; adaptierte CIELAB-Daten

	$L^*=L^*_a$	a^*_a	b^*_a	$C^*_{ab,a}$	$h^*_{ab,a}$
O_{Ma}	47.94	65.37	50.52	82.62	38
Y_{Ma}	90.37	−10.27	91.77	92.34	96
L_{Ma}	50.9	−62.79	34.95	71.87	151
C_{Ma}	58.62	−30.35	−45.01	54.3	236
V_{Ma}	25.71	31.11	−44.42	54.24	305
M_{Ma}	48.13	75.27	−8.35	75.73	354
N_{Ma}	18.01	0.0	0.0	0.0	0
W_{Ma}	95.41	0.0	0.0	0.0	0
R_{CIE}	39.92	58.66	26.98	64.56	25
J_{CIE}	81.26	−2.17	67.76	67.79	92
G_{CIE}	52.23	−42.26	11.75	43.87	164
B_{CIE}	30.57	1.15	−46.84	46.87	271

%Regularität
$g^*_{H,rel}$ = 57
$g^*_{C,rel}$ = 59

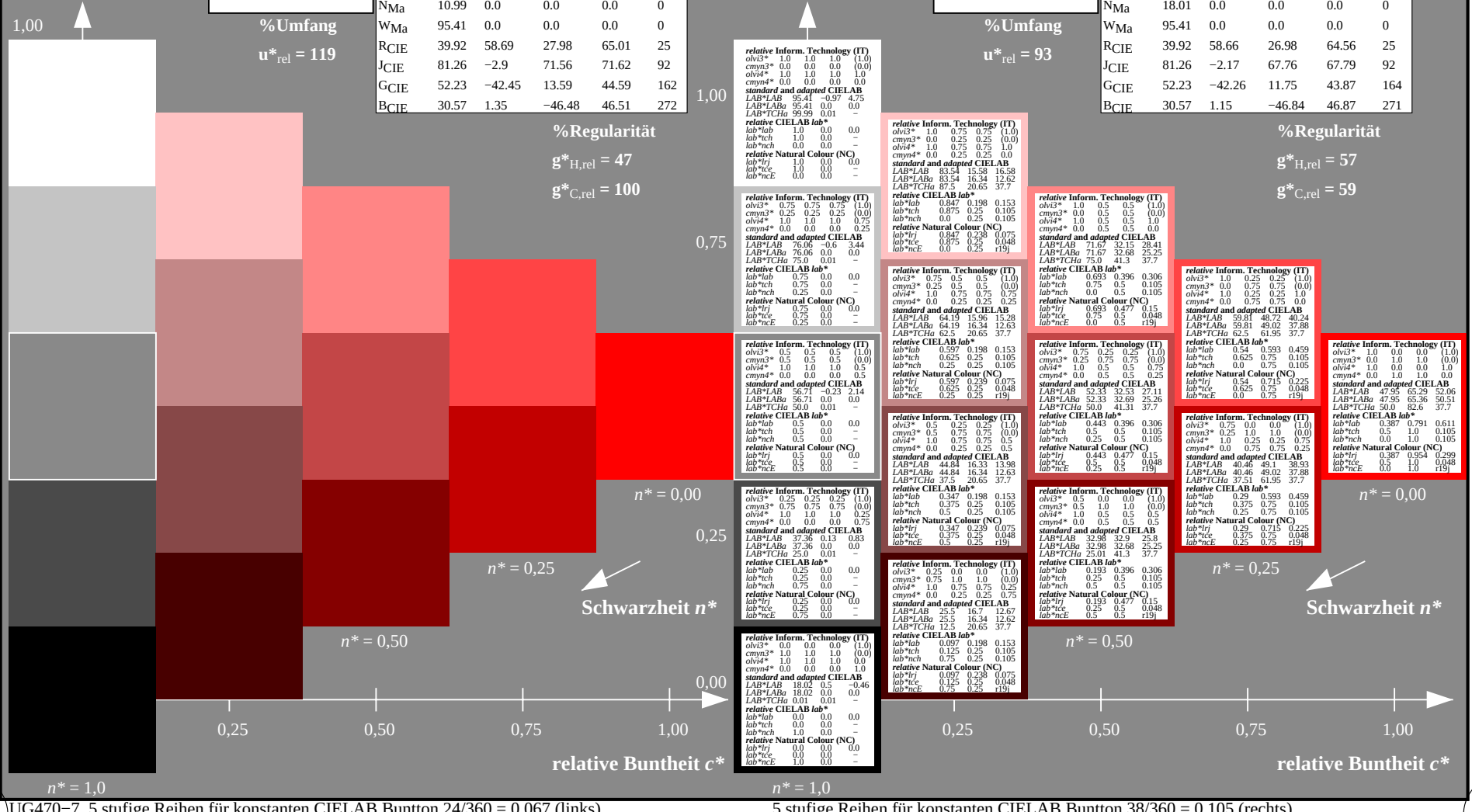

UG470−7, 5 stufige Reihen für konstanten CIELAB Buntton 24/360 = 0.067 (links)

5 stufige Reihen für konstanten CIELAB Buntton 38/360 = 0.105 (rechts)

Eingabe: Farbmetrisches Reflexions-System NRS11
für Buntton *h* = lab*h = 91/360 = 0.253*
lab*tch* und *lab*nch

D65: Buntton J
LCH*Ma: 53 84 91
rgb*Ma: 1.0 1.0 0.0

Dreiecks-Helligkeit

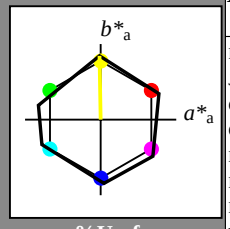

%Umfang
u*rel = 119

NRS11; adaptierte CIELAB-Daten

	L*=L*a	a*a	b*a	C*ab,a	h*ab,a
R_{Ma}	53.2	77.06	34.32	84.36	24
J_{Ma}	53.2	−1.51	84.38	84.39	91
G_{Ma}	53.2	−82.27	18.98	84.44	167
$G50B_{Ma}$	53.2	−77.72	−32.98	84.44	203
B_{Ma}	53.2	4.37	−84.28	84.41	273
$B50R_{Ma}$	53.2	69.09	−48.41	84.37	325
N_{Ma}	10.99	0.0	0.0	0.0	0
W_{Ma}	95.41	0.0	0.0	0.0	0
R_{CIE}	39.92	58.69	27.98	65.01	25
J_{CIE}	81.26	−2.9	71.56	71.62	92
G_{CIE}	52.23	−42.45	13.59	44.59	162
B_{CIE}	30.57	1.35	−46.48	46.51	272

%Regularität
g*H,rel = 47
g*C,rel = 100

Ausgabe: Farbmetrisches Reflexions-System ORS18
für Buntton *h* = lab*h = 96/360 = 0.268*
lab*tch* und *lab*nch

D65: Buntton Y
LCH*Ma: 90 92 96
rgb*Ma: 1.0 1.0 0.0

Dreiecks-Helligkeit

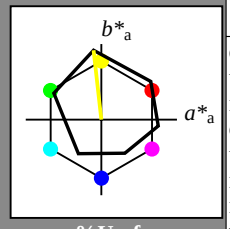

%Umfang
u*rel = 93

ORS18; adaptierte CIELAB-Daten

	L*=L*a	a*a	b*a	C*ab,a	h*ab,a
O_{Ma}	47.94	65.37	50.52	82.62	38
Y_{Ma}	90.37	−10.27	91.77	92.34	96
L_{Ma}	50.9	−62.79	34.95	71.87	151
C_{Ma}	58.62	−30.35	−45.01	54.3	236
V_{Ma}	25.71	31.11	−44.42	54.24	305
M_{Ma}	48.13	75.27	−8.35	75.73	354
N_{Ma}	18.01	0.0	0.0	0.0	0
W_{Ma}	95.41	0.0	0.0	0.0	0
R_{CIE}	39.92	58.66	26.98	64.56	25
J_{CIE}	81.26	−2.17	67.76	67.79	92
G_{CIE}	52.23	−42.26	11.75	43.87	164
B_{CIE}	30.57	1.15	−46.84	46.87	271

%Regularität
g*H,rel = 57
g*C,rel = 59

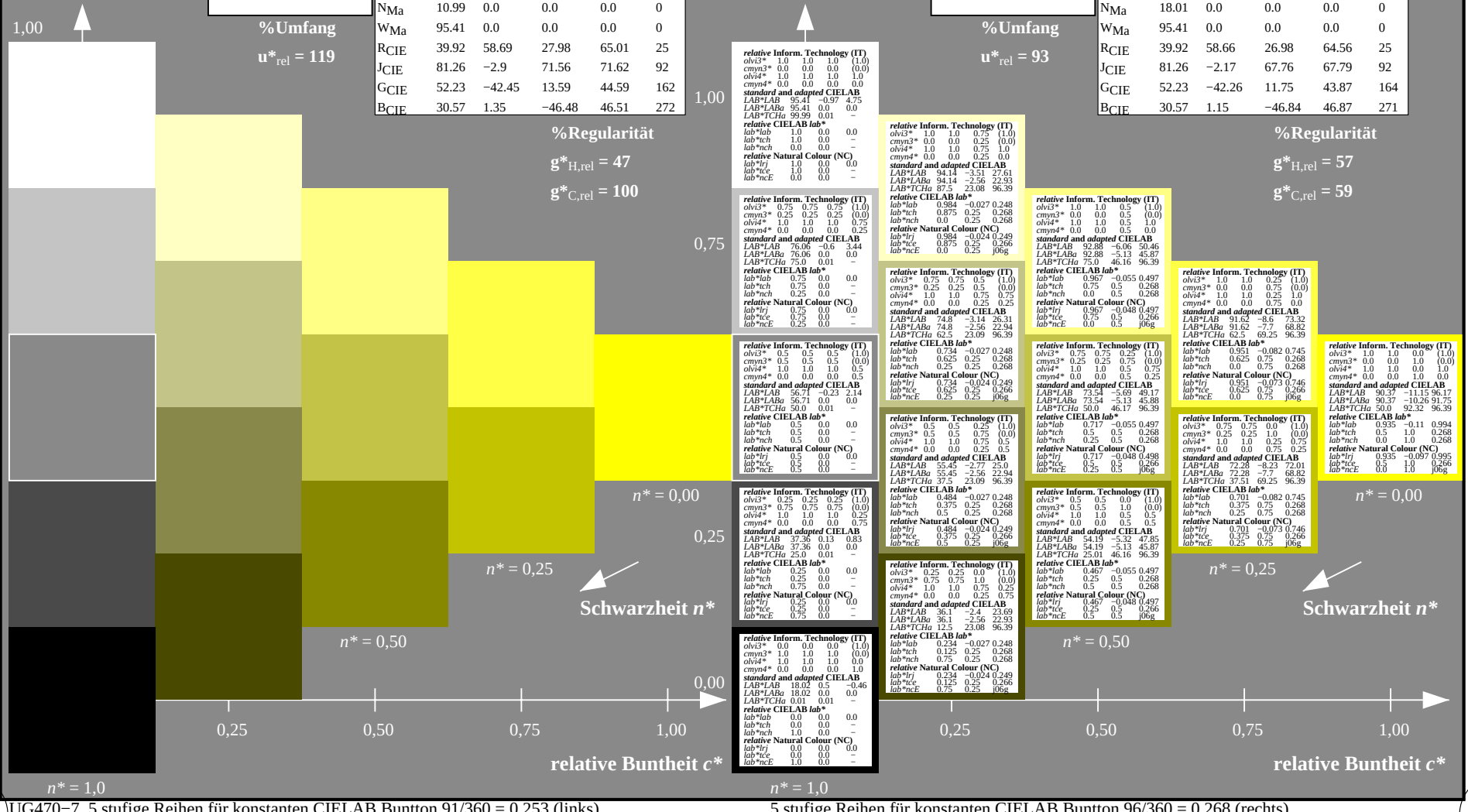

UG470−7, 5 stufige Reihen für konstanten CIELAB Buntton 91/360 = 0.253 (links)

5 stufige Reihen für konstanten CIELAB Buntton 96/360 = 0.268 (rechts)

BAM-Prüfvorlage UG47; Farbmetrik-Systeme NRS11 & ORS18 input: *cmy0* setcmykcolor*
D65: 5stufige Farbreihen und Koordinaten-Daten für 10 Bunttöne output: *olv* setrgbcolor / w* setgray*

Eingabe: Farbmetrisches Reflexions-System NRS11
für Buntton *h* = lab*h = 167/360 = 0.464*
lab*tch* und *lab*nch

D65: Buntton G
LCH*Ma: 53 84 167
rgb*Ma: 0.0 1.0 0.0

Dreiecks-Helligkeit

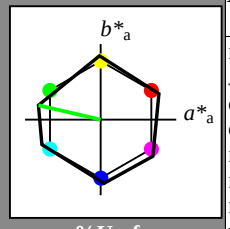

%Umfang
u*rel = 119

NRS11; adaptierte CIELAB-Daten

	L*=L*a	a*a	b*a	C*ab,a	h*ab,a
R_{Ma}	53.2	77.06	34.32	84.36	24
J_{Ma}	53.2	−1.51	84.38	84.39	91
G_{Ma}	53.2	−82.27	18.98	84.44	167
$G50B_{Ma}$	53.2	−77.72	−32.98	84.44	203
B_{Ma}	53.2	4.37	−84.28	84.41	273
$B50R_{Ma}$	53.2	69.09	−48.41	84.37	325
N_{Ma}	10.99	0.0	0.0	0.0	0
W_{Ma}	95.41	0.0	0.0	0.0	0
R_{CIE}	39.92	58.69	27.98	65.01	25
J_{CIE}	81.26	−2.9	71.56	71.62	92
G_{CIE}	52.23	−42.45	13.59	44.59	162
B_{CIE}	30.57	1.35	−46.48	46.51	272

%Regularität
g*H,rel = 47
g*C,rel = 100

Ausgabe: Farbmetrisches Reflexions-System ORS18
für Buntton *h* = lab*h = 151/360 = 0.419*
lab*tch* und *lab*nch

D65: Buntton L
LCH*Ma: 51 72 151
rgb*Ma: 0.0 1.0 0.0

Dreiecks-Helligkeit

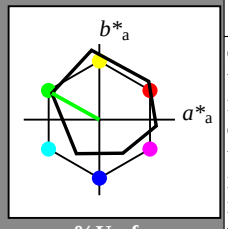

%Umfang
u*rel = 93

ORS18; adaptierte CIELAB-Daten

	L*=L*a	a*a	b*a	C*ab,a	h*ab,a
O_{Ma}	47.94	65.37	50.52	82.62	38
Y_{Ma}	90.37	−10.27	91.77	92.34	96
L_{Ma}	50.9	−62.79	34.95	71.87	151
C_{Ma}	58.62	−30.35	−45.01	54.3	236
V_{Ma}	25.71	31.11	−44.42	54.24	305
M_{Ma}	48.13	75.27	−8.35	75.73	354
N_{Ma}	18.01	0.0	0.0	0.0	0
W_{Ma}	95.41	0.0	0.0	0.0	0
R_{CIE}	39.92	58.66	26.98	64.56	25
J_{CIE}	81.26	−2.17	67.76	67.79	92
G_{CIE}	52.23	−42.26	11.75	43.87	164
B_{CIE}	30.57	1.15	−46.84	46.87	271

%Regularität
g*H,rel = 57
g*C,rel = 59

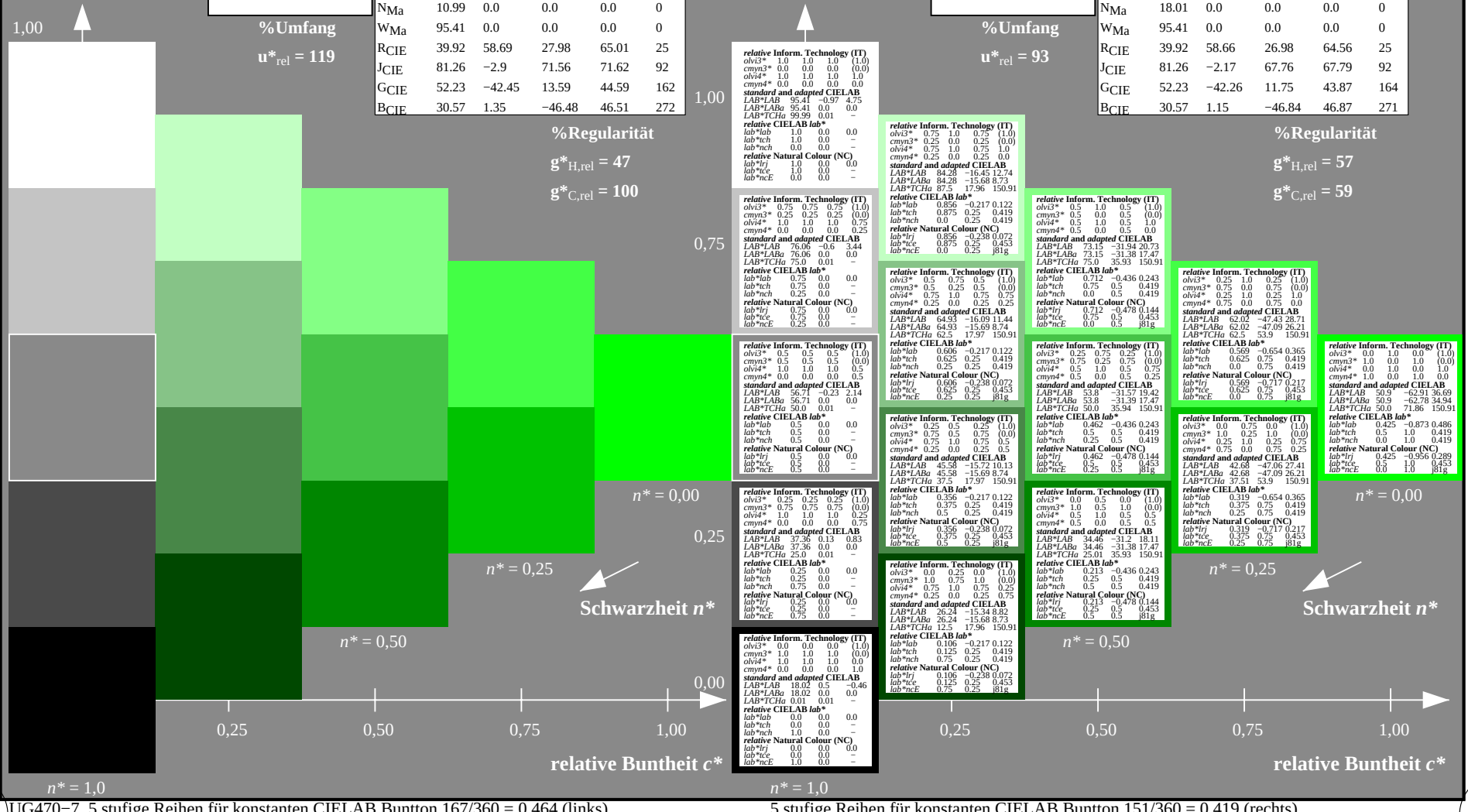

UG470−7, 5 stufige Reihen für konstanten CIELAB Buntton 167/360 = 0.464 (links)

5 stufige Reihen für konstanten CIELAB Buntton 151/360 = 0.419 (rechts)

BAM-Prüfvorlage UG47; Farbmetrik-Systeme NRS11 & ORS18 input: *cmy0* setcmykcolor*
D65: 5stufige Farbreihen und Koordinaten-Daten für 10 Bunttöne output: *olv* setrgbcolor / w* setgray*

Eingabe: Farbmetrisches Reflexions-System NRS11
für Buntton *h* = lab*h = 203/360 = 0.564*
lab*tch* und *lab*nch

D65: Buntton G50B
LCH*Ma: 53 84 203
rgb*Ma: 0.0 1.0 1.0

Dreiecks-Helligkeit

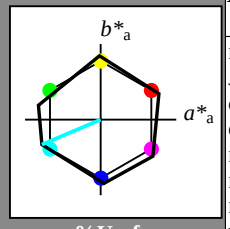

%Umfang
u*rel = 119

NRS11; adaptierte CIELAB-Daten

	L*=L*a	a*a	b*a	C*ab,a	h*ab,a
R_{Ma}	53.2	77.06	34.32	84.36	24
J_{Ma}	53.2	−1.51	84.38	84.39	91
G_{Ma}	53.2	−82.27	18.98	84.44	167
$G50B_{Ma}$	53.2	−77.72	−32.98	84.44	203
B_{Ma}	53.2	4.37	−84.28	84.41	273
$B50R_{Ma}$	53.2	69.09	−48.41	84.37	325
N_{Ma}	10.99	0.0	0.0	0.0	0
W_{Ma}	95.41	0.0	0.0	0.0	0
R_{CIE}	39.92	58.69	27.98	65.01	25
J_{CIE}	81.26	−2.9	71.56	71.62	92
G_{CIE}	52.23	−42.45	13.59	44.59	162
B_{CIE}	30.57	1.35	−46.48	46.51	272

%Regularität
g*H,rel = 47
g*C,rel = 100

1,00
0,75
0,25
0,00
n = 0,00*
n = 0,25*
n = 0,50*
n = 1,0*
Schwarzheit *n**
0,25 0,50 0,75 1,00
relative Buntheit *c**

Ausgabe: Farbmetrisches Reflexions-System ORS18
für Buntton *h* = lab*h = 236/360 = 0.656*
lab*tch* und *lab*nch

D65: Buntton C
LCH*Ma: 59 54 236
rgb*Ma: 0.0 1.0 1.0

Dreiecks-Helligkeit

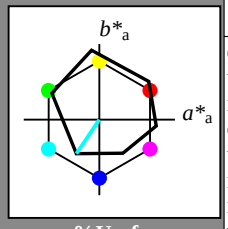

%Umfang
u*rel = 93

ORS18; adaptierte CIELAB-Daten

	L*=L*a	a*a	b*a	C*ab,a	h*ab,a
O_{Ma}	47.94	65.37	50.52	82.62	38
Y_{Ma}	90.37	−10.27	91.77	92.34	96
L_{Ma}	50.9	−62.79	34.95	71.87	151
C_{Ma}	58.62	−30.35	−45.01	54.3	236
V_{Ma}	25.71	31.11	−44.42	54.24	305
M_{Ma}	48.13	75.27	−8.35	75.73	354
N_{Ma}	18.01	0.0	0.0	0.0	0
W_{Ma}	95.41	0.0	0.0	0.0	0
R_{CIE}	39.92	58.66	26.98	64.56	25
J_{CIE}	81.26	−2.17	67.76	67.79	92
G_{CIE}	52.23	−42.26	11.75	43.87	164
B_{CIE}	30.57	1.15	−46.84	46.87	271

%Regularität
g*H,rel = 57
g*C,rel = 59

1,00
0,75
0,25
0,00
n = 0,00*
n = 0,25*
n = 0,50*
n = 1,0*
Schwarzheit *n**
0,25 0,50 0,75 1,00
relative Buntheit *c**

UG470−7, 5 stufige Reihen für konstanten CIELAB Buntton 203/360 = 0.564 (links)

5 stufige Reihen für konstanten CIELAB Buntton 236/360 = 0.656 (rechts)

Eingabe: Farbmetrisches Reflexions-System NRS11
für Buntton *h* = lab*h = 273/360 = 0.758*
lab*tch* und *lab*nch

D65: Buntton B
LCH*Ma: 53 84 273
rgb*Ma: 0.0 0.0 1.0

Dreiecks-Helligkeit

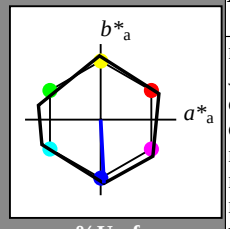

%Umfang
u*rel = 119

NRS11; adaptierte CIELAB-Daten

	L*=L*a	a*a	b*a	C*ab,a	h*ab,a
R_{Ma}	53.2	77.06	34.32	84.36	24
J_{Ma}	53.2	−1.51	84.38	84.39	91
G_{Ma}	53.2	−82.27	18.98	84.44	167
$G50B_{Ma}$	53.2	−77.72	−32.98	84.44	203
B_{Ma}	53.2	4.37	−84.28	84.41	273
$B50R_{Ma}$	53.2	69.09	−48.41	84.37	325
N_{Ma}	10.99	0.0	0.0	0.0	0
W_{Ma}	95.41	0.0	0.0	0.0	0
R_{CIE}	39.92	58.69	27.98	65.01	25
J_{CIE}	81.26	−2.9	71.56	71.62	92
G_{CIE}	52.23	−42.45	13.59	44.59	162
B_{CIE}	30.57	1.35	−46.48	46.51	272

%Regularität
g*H,rel = 47
g*C,rel = 100

Ausgabe: Farbmetrisches Reflexions-System ORS18
für Buntton *h* = lab*h = 305/360 = 0.847*
lab*tch* und *lab*nch

D65: Buntton V
LCH*Ma: 26 54 305
rgb*Ma: 0.0 0.0 1.0

Dreiecks-Helligkeit

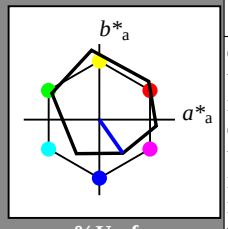

%Umfang
u*rel = 93

ORS18; adaptierte CIELAB-Daten

	L*=L*a	a*a	b*a	C*ab,a	h*ab,a
O_{Ma}	47.94	65.37	50.52	82.62	38
Y_{Ma}	90.37	−10.27	91.77	92.34	96
L_{Ma}	50.9	−62.79	34.95	71.87	151
C_{Ma}	58.62	−30.35	−45.01	54.3	236
V_{Ma}	25.71	31.11	−44.42	54.24	305
M_{Ma}	48.13	75.27	−8.35	75.73	354
N_{Ma}	18.01	0.0	0.0	0.0	0
W_{Ma}	95.41	0.0	0.0	0.0	0
R_{CIE}	39.92	58.66	26.98	64.56	25
J_{CIE}	81.26	−2.17	67.76	67.79	92
G_{CIE}	52.23	−42.26	11.75	43.87	164
B_{CIE}	30.57	1.15	−46.84	46.87	271

%Regularität
g*H,rel = 57
g*C,rel = 59

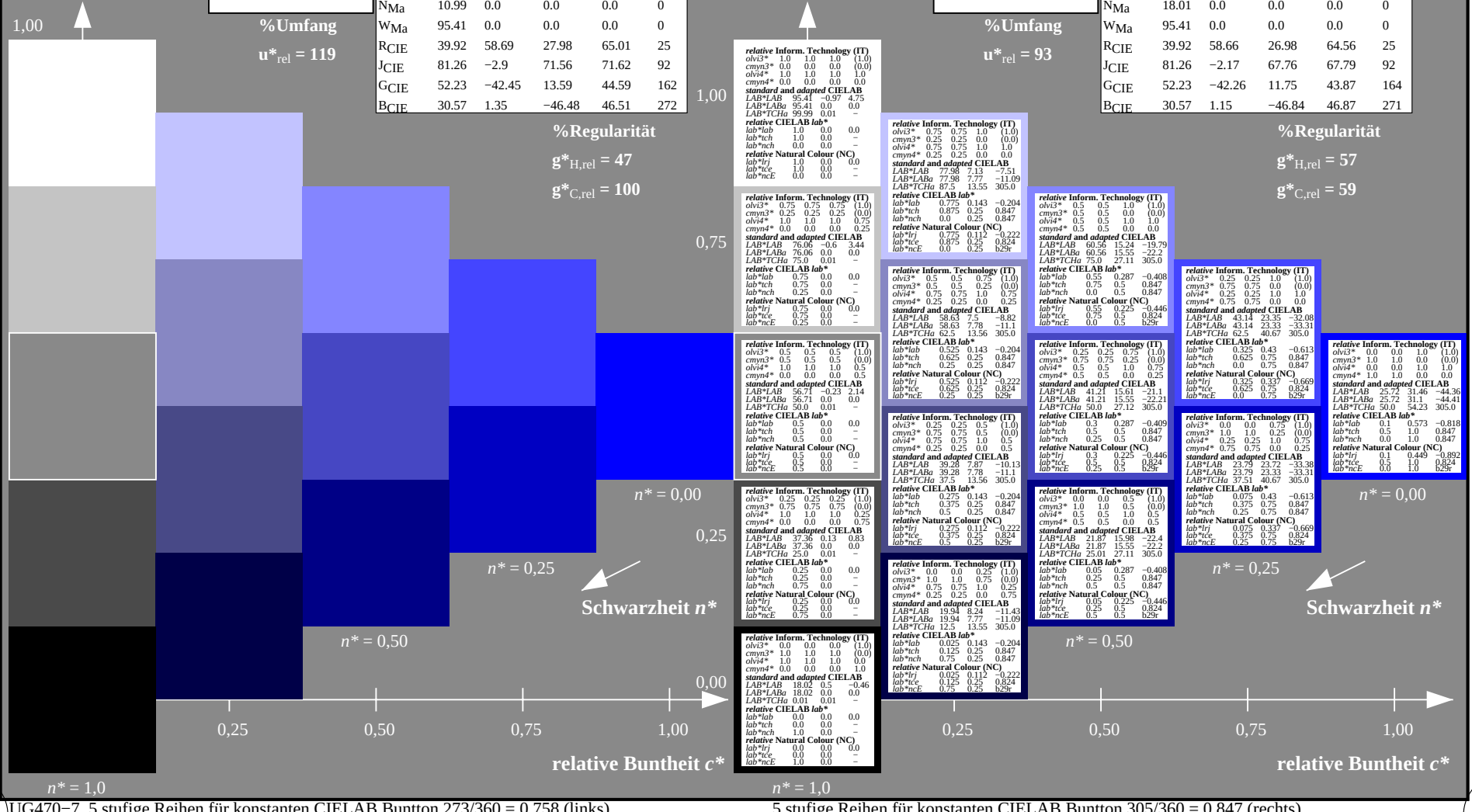

UG470−7, 5 stufige Reihen für konstanten CIELAB Buntton 273/360 = 0.758 (links)

5 stufige Reihen für konstanten CIELAB Buntton 305/360 = 0.847 (rechts)

BAM-Prüfvorlage UG47; Farbmetrik-Systeme NRS11 & ORS18 input: *cmy0* setcmykcolor*
D65: 5stufige Farbreihen und Koordinaten-Daten für 10 Bunttöne output: *olv* setrgbcolor / w* setgray*

Eingabe: Farbmetrisches Reflexions-System NRS11
für Buntton *h* = lab*h = 325/360 = 0.903*
lab*tch* und *lab*nch

D65: Buntton B50R
LCH*Ma: 53 84 325
rgb*Ma: 1.0 0.0 1.0

Dreiecks-Helligkeit

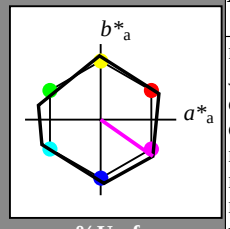

%Umfang
u*rel = 119

NRS11; adaptierte CIELAB-Daten

	L*=L*a	a*a	b*a	C*ab,a	h*ab,a
R_{Ma}	53.2	77.06	34.32	84.36	24
J_{Ma}	53.2	−1.51	84.38	84.39	91
G_{Ma}	53.2	−82.27	18.98	84.44	167
$G50B_{Ma}$	53.2	−77.72	−32.98	84.44	203
B_{Ma}	53.2	4.37	−84.28	84.41	273
$B50R_{Ma}$	53.2	69.09	−48.41	84.37	325
N_{Ma}	10.99	0.0	0.0	0.0	0
W_{Ma}	95.41	0.0	0.0	0.0	0
R_{CIE}	39.92	58.69	27.98	65.01	25
J_{CIE}	81.26	−2.9	71.56	71.62	92
G_{CIE}	52.23	−42.45	13.59	44.59	162
B_{CIE}	30.57	1.35	−46.48	46.51	272

%Regularität
g*H,rel = 47
g*C,rel = 100

1,00
0,75
0,25
0,00
n = 0,00*
n = 0,25*
n = 0,50*
n = 1,0*
0,25 0,50 0,75 1,00
Schwarzheit *n**
relative Buntheit *c**

Ausgabe: Farbmetrisches Reflexions-System ORS18
für Buntton *h* = lab*h = 354/360 = 0.982*
lab*tch* und *lab*nch

D65: Buntton M
LCH*Ma: 48 76 354
rgb*Ma: 1.0 0.0 1.0

Dreiecks-Helligkeit

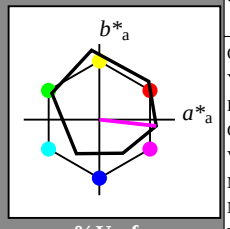

%Umfang
u*rel = 93

ORS18; adaptierte CIELAB-Daten

	L*=L*a	a*a	b*a	C*ab,a	h*ab,a
O_{Ma}	47.94	65.37	50.52	82.62	38
Y_{Ma}	90.37	−10.27	91.77	92.34	96
L_{Ma}	50.9	−62.79	34.95	71.87	151
C_{Ma}	58.62	−30.35	−45.01	54.3	236
V_{Ma}	25.71	31.11	−44.42	54.24	305
M_{Ma}	48.13	75.27	−8.35	75.73	354
N_{Ma}	18.01	0.0	0.0	0.0	0
W_{Ma}	95.41	0.0	0.0	0.0	0
R_{CIE}	39.92	58.66	26.98	64.56	25
J_{CIE}	81.26	−2.17	67.76	67.79	92
G_{CIE}	52.23	−42.26	11.75	43.87	164
B_{CIE}	30.57	1.15	−46.84	46.87	271

%Regularität
g*H,rel = 57
g*C,rel = 59

1,00
0,75
0,25
0,00
n = 0,00*
n = 0,25*
n = 0,50*
n = 1,0*
0,25 0,50 0,75 1,00
Schwarzheit *n**
relative Buntheit *c**

UG470−7, 5 stufige Reihen für konstanten CIELAB Buntton 325/360 = 0.903 (links)
5 stufige Reihen für konstanten CIELAB Buntton 354/360 = 0.982 (rechts)

Eingabe: Farbmetrisches Reflexions-System NRS11
für Buntton *h* = lab*h = 25/360 = 0.071*
lab*tch* und *lab*nch

D65: Buntton R
LCH*Ma: 53 83 25
rgb*Ma: 1.0 0.03 0.0

Dreiecks-Helligkeit

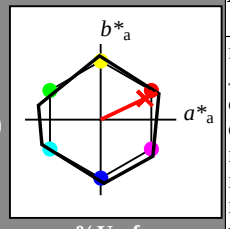

%Umfang
u^*_{rel} = 119

NRS11; adaptierte CIELAB-Daten

	$L^*=L^*_a$	a^*_a	b^*_a	$C^*_{ab,a}$	$h^*_{ab,a}$
R_{Ma}	53.2	77.06	34.32	84.36	24
J_{Ma}	53.2	−1.51	84.38	84.39	91
G_{Ma}	53.2	−82.27	18.98	84.44	167
$G50B_{Ma}$	53.2	−77.72	−32.98	84.44	203
B_{Ma}	53.2	4.37	−84.28	84.41	273
$B50R_{Ma}$	53.2	69.09	−48.41	84.37	325
N_{Ma}	10.99	0.0	0.0	0.0	0
W_{Ma}	95.41	0.0	0.0	0.0	0
R_{CIE}	39.92	58.69	27.98	65.01	25
J_{CIE}	81.26	−2.9	71.56	71.62	92
G_{CIE}	52.23	−42.45	13.59	44.59	162
B_{CIE}	30.57	1.35	−46.48	46.51	272

%Regularität
$g^*_{H,rel}$ = 47
$g^*_{C,rel}$ = 100

Ausgabe: Farbmetrisches Reflexions-System ORS18
für Buntton *h* = lab*h = 25/360 = 0.069*
lab*tch* und *lab*nch

D65: Buntton R
LCH*Ma: 48 75 25
rgb*Ma: 1.0 0.0 0.32

Dreiecks-Helligkeit

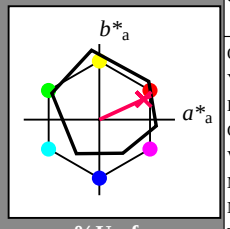

%Umfang
u^*_{rel} = 93

ORS18; adaptierte CIELAB-Daten

	$L^*=L^*_a$	a^*_a	b^*_a	$C^*_{ab,a}$	$h^*_{ab,a}$
O_{Ma}	47.94	65.37	50.52	82.62	38
Y_{Ma}	90.37	−10.27	91.77	92.34	96
L_{Ma}	50.9	−62.79	34.95	71.87	151
C_{Ma}	58.62	−30.35	−45.01	54.3	236
V_{Ma}	25.71	31.11	−44.42	54.24	305
M_{Ma}	48.13	75.27	−8.35	75.73	354
N_{Ma}	18.01	0.0	0.0	0.0	0
W_{Ma}	95.41	0.0	0.0	0.0	0
R_{CIE}	39.92	58.66	26.98	64.56	25
J_{CIE}	81.26	−2.17	67.76	67.79	92
G_{CIE}	52.23	−42.26	11.75	43.87	164
B_{CIE}	30.57	1.15	−46.84	46.87	271

%Regularität
$g^*_{H,rel}$ = 57
$g^*_{C,rel}$ = 59

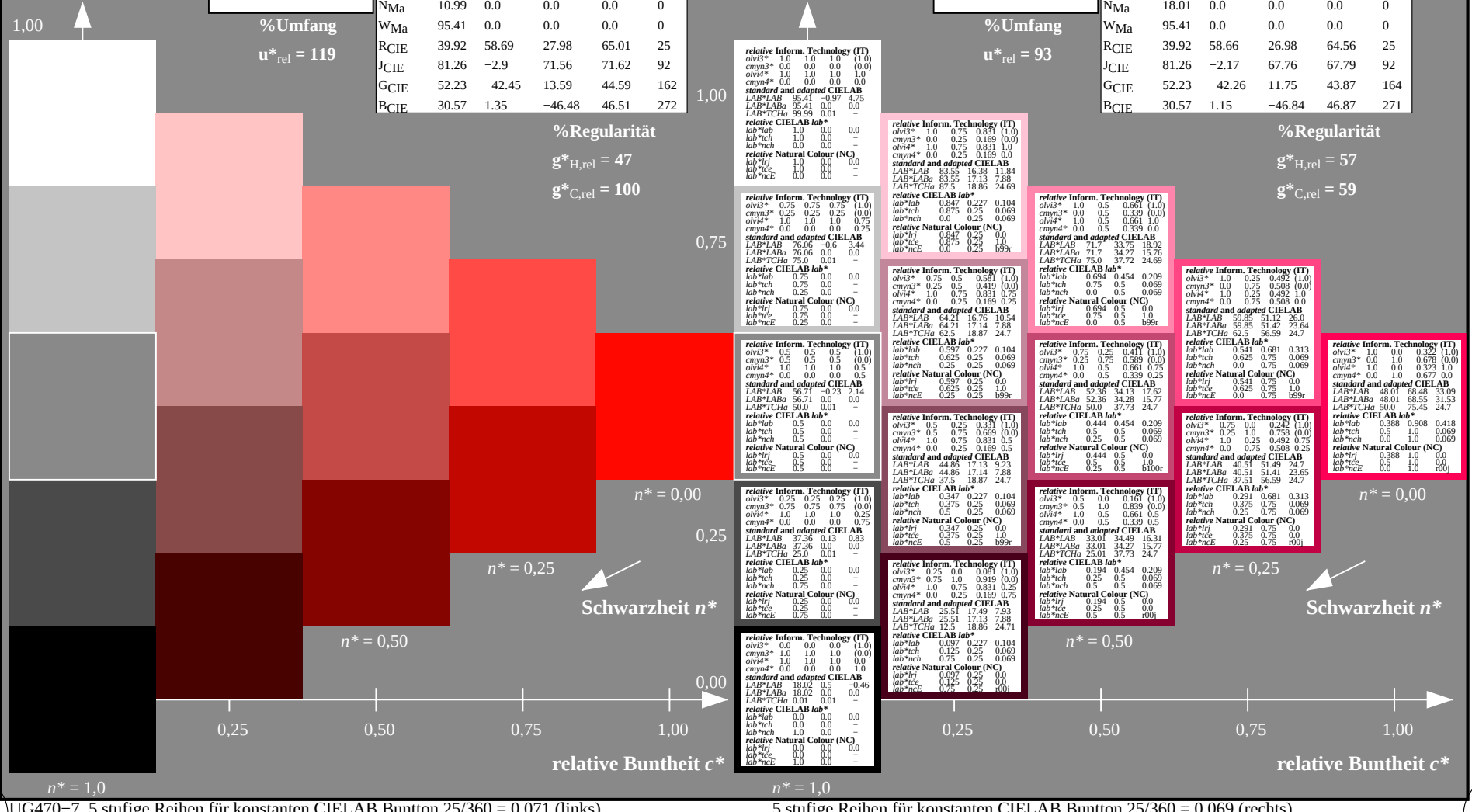

UG470−7, 5 stufige Reihen für konstanten CIELAB Buntton 25/360 = 0.071 (links)

5 stufige Reihen für konstanten CIELAB Buntton 25/360 = 0.069 (rechts)

Eingabe: Farbmetrisches Reflexions-System NRS11
für Buntton *h* = lab*h = 92/360 = 0.256*
lab*tch* und *lab*nch

D65: Buntton J
LCH*Ma: 53 83 92
rgb*Ma: 0.98 1.0 0.0

Dreiecks-Helligkeit

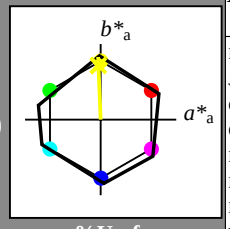

%Umfang
u*rel = 119

NRS11; adaptierte CIELAB-Daten

	L*=L*a	a*a	b*a	C*ab,a	h*ab,a
R_{Ma}	53.2	77.06	34.32	84.36	24
J_{Ma}	53.2	−1.51	84.38	84.39	91
G_{Ma}	53.2	−82.27	18.98	84.44	167
$G50B_{Ma}$	53.2	−77.72	−32.98	84.44	203
B_{Ma}	53.2	4.37	−84.28	84.41	273
$B50R_{Ma}$	53.2	69.09	−48.41	84.37	325
N_{Ma}	10.99	0.0	0.0	0.0	0
W_{Ma}	95.41	0.0	0.0	0.0	0
R_{CIE}	39.92	58.69	27.98	65.01	25
J_{CIE}	81.26	−2.9	71.56	71.62	92
G_{CIE}	52.23	−42.45	13.59	44.59	162
B_{CIE}	30.57	1.35	−46.48	46.51	272

%Regularität
g*H,rel = 47
g*C,rel = 100

Ausgabe: Farbmetrisches Reflexions-System ORS18
für Buntton *h* = lab*h = 92/360 = 0.255*
lab*tch* und *lab*nch

D65: Buntton J
LCH*Ma: 86 88 92
rgb*Ma: 1.0 0.9 0.0

Dreiecks-Helligkeit

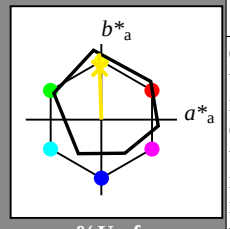

%Umfang
u*rel = 93

ORS18; adaptierte CIELAB-Daten

	L*=L*a	a*a	b*a	C*ab,a	h*ab,a
O_{Ma}	47.94	65.37	50.52	82.62	38
Y_{Ma}	90.37	−10.27	91.77	92.34	96
L_{Ma}	50.9	−62.79	34.95	71.87	151
C_{Ma}	58.62	−30.35	−45.01	54.3	236
V_{Ma}	25.71	31.11	−44.42	54.24	305
M_{Ma}	48.13	75.27	−8.35	75.73	354
N_{Ma}	18.01	0.0	0.0	0.0	0
W_{Ma}	95.41	0.0	0.0	0.0	0
R_{CIE}	39.92	58.66	26.98	64.56	25
J_{CIE}	81.26	−2.17	67.76	67.79	92
G_{CIE}	52.23	−42.26	11.75	43.87	164
B_{CIE}	30.57	1.15	−46.84	46.87	271

%Regularität
g*H,rel = 57
g*C,rel = 59

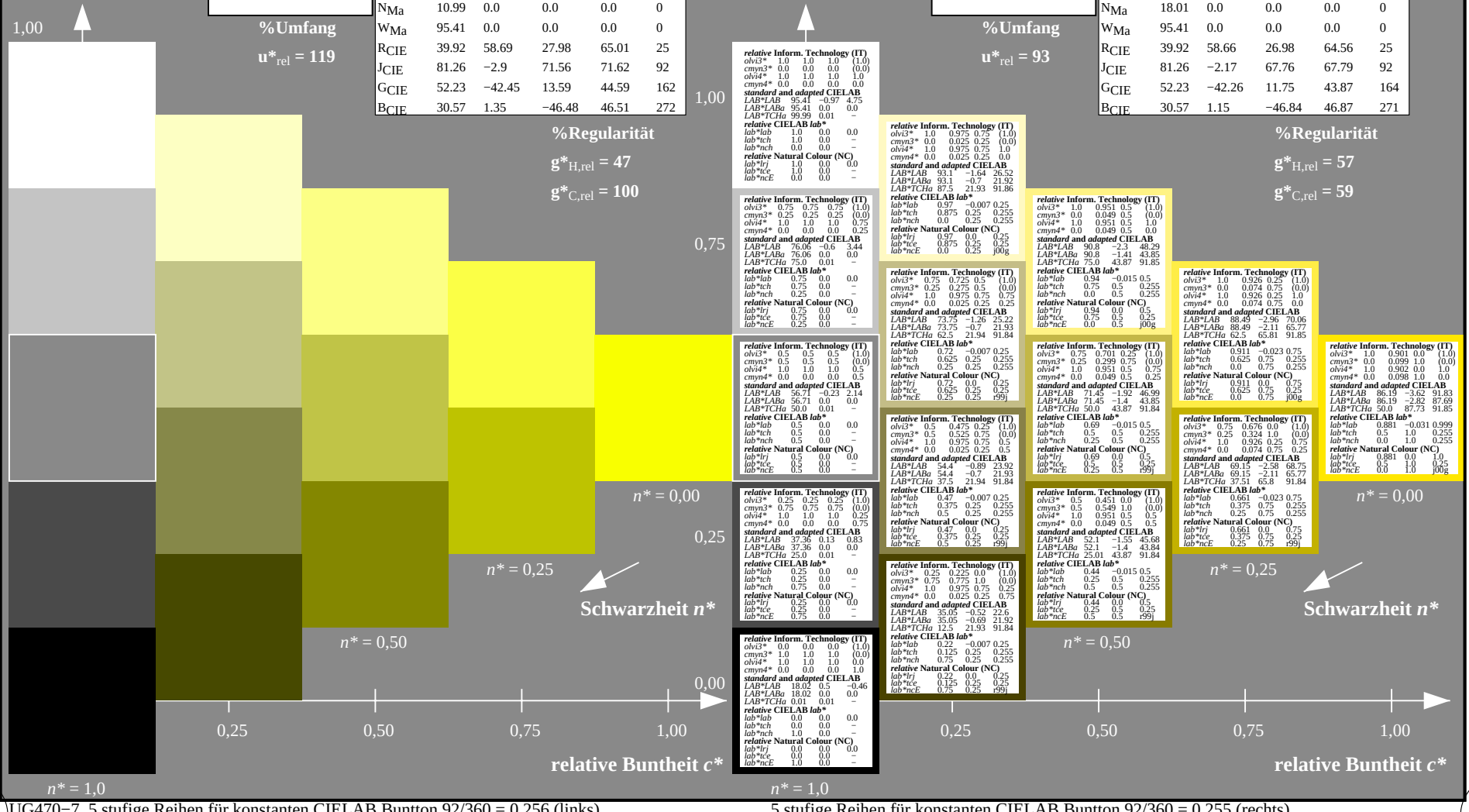

UG470−7, 5 stufige Reihen für konstanten CIELAB Buntton 92/360 = 0.256 (links)

5 stufige Reihen für konstanten CIELAB Buntton 92/360 = 0.255 (rechts)

BAM-Prüfvorlage UG47; Farbmetrik-Systeme NRS11 & ORS18 input: *cmy0* setcmykcolor*
D65: 5stufige Farbreihen und Koordinaten-Daten für 10 Bunttöne output: *olv* setrgbcolor / w* setgray*

Eingabe: Farbmetrisches Reflexions-System NRS11
für Buntton *h* = lab*h = 162/360 = 0.451*
lab*tch* und *lab*nch

D65: Buntton G
LCH*Ma: 53 80 162
rgb*Ma: 0.08 1.0 0.0

Dreiecks-Helligkeit

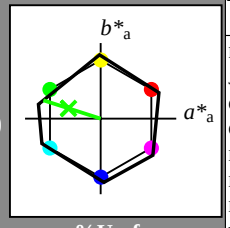

%Umfang
u*$_{rel}$ = 119

NRS11; adaptierte CIELAB-Daten

	$L^*=L^*_a$	a^*_a	b^*_a	$C^*_{ab,a}$	$h^*_{ab,a}$
R_{Ma}	53.2	77.06	34.32	84.36	24
J_{Ma}	53.2	−1.51	84.38	84.39	91
G_{Ma}	53.2	−82.27	18.98	84.44	167
$G50B_{Ma}$	53.2	−77.72	−32.98	84.44	203
B_{Ma}	53.2	4.37	−84.28	84.41	273
$B50R_{Ma}$	53.2	69.09	−48.41	84.37	325
N_{Ma}	10.99	0.0	0.0	0.0	0
W_{Ma}	95.41	0.0	0.0	0.0	0
R_{CIE}	39.92	58.69	27.98	65.01	25
J_{CIE}	81.26	−2.9	71.56	71.62	92
G_{CIE}	52.23	−42.45	13.59	44.59	162
B_{CIE}	30.57	1.35	−46.48	46.51	272

%Regularität
g*$_{H,rel}$ = 47
g*$_{C,rel}$ = 100

Ausgabe: Farbmetrisches Reflexions-System ORS18
für Buntton *h* = lab*h = 164/360 = 0.457*
lab*tch* und *lab*nch

D65: Buntton G
LCH*Ma: 53 57 164
rgb*Ma: 0.0 1.0 0.25

Dreiecks-Helligkeit

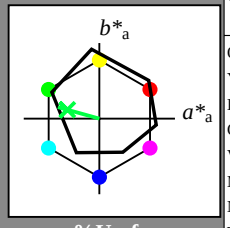

%Umfang
u*$_{rel}$ = 93

ORS18; adaptierte CIELAB-Daten

	$L^*=L^*_a$	a^*_a	b^*_a	$C^*_{ab,a}$	$h^*_{ab,a}$
O_{Ma}	47.94	65.37	50.52	82.62	38
Y_{Ma}	90.37	−10.27	91.77	92.34	96
L_{Ma}	50.9	−62.79	34.95	71.87	151
C_{Ma}	58.62	−30.35	−45.01	54.3	236
V_{Ma}	25.71	31.11	−44.42	54.24	305
M_{Ma}	48.13	75.27	−8.35	75.73	354
N_{Ma}	18.01	0.0	0.0	0.0	0
W_{Ma}	95.41	0.0	0.0	0.0	0
R_{CIE}	39.92	58.66	26.98	64.56	25
J_{CIE}	81.26	−2.17	67.76	67.79	92
G_{CIE}	52.23	−42.26	11.75	43.87	164
B_{CIE}	30.57	1.15	−46.84	46.87	271

%Regularität
g*$_{H,rel}$ = 57
g*$_{C,rel}$ = 59

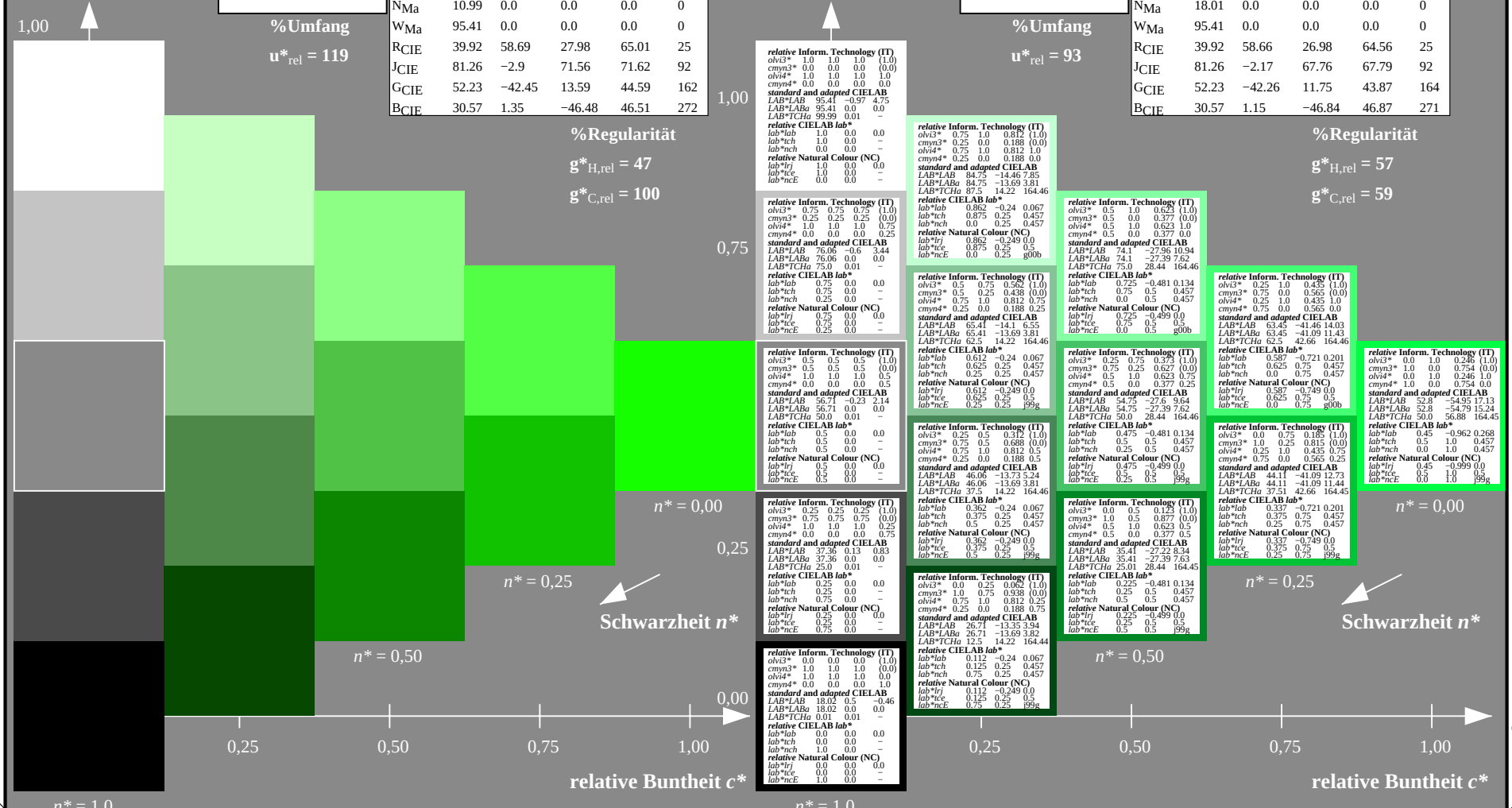

UG470−7, 5 stufige Reihen für konstanten CIELAB Buntton 162/360 = 0.451 (links)

5 stufige Reihen für konstanten CIELAB Buntton 164/360 = 0.457 (rechts)

BAM-Prüfvorlage UG47; Farbmetrik-Systeme NRS11 & ORS18 input: *cmy0* setcmykcolor*
D65: 5stufige Farbreihen und Koordinaten-Daten für 10 Bunttöne output: *olv* setrgbcolor / w* setgray*

Eingabe: Farbmetrisches Reflexions-System NRS11
für Buntton *h* = lab*h = 272/360 = 0.755*
lab*tch* und *lab*nch

D65: Buntton B
LCH*Ma: 53 83 272
rgb*Ma: 0.0 0.02 1.0

Dreiecks-Helligkeit

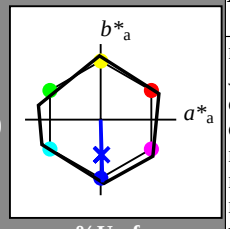

%Umfang
u*$_{rel}$ = 119

NRS11; adaptierte CIELAB-Daten

	$L^*=L^*_a$	a^*_a	b^*_a	$C^*_{ab,a}$	$h^*_{ab,a}$
R_{Ma}	53.2	77.06	34.32	84.36	24
J_{Ma}	53.2	−1.51	84.38	84.39	91
G_{Ma}	53.2	−82.27	18.98	84.44	167
$G50B_{Ma}$	53.2	−77.72	−32.98	84.44	203
B_{Ma}	53.2	4.37	−84.28	84.41	273
$B50R_{Ma}$	53.2	69.09	−48.41	84.37	325
N_{Ma}	10.99	0.0	0.0	0.0	0
W_{Ma}	95.41	0.0	0.0	0.0	0
R_{CIE}	39.92	58.69	27.98	65.01	25
J_{CIE}	81.26	−2.9	71.56	71.62	92
G_{CIE}	52.23	−42.45	13.59	44.59	162
B_{CIE}	30.57	1.35	−46.48	46.51	272

%Regularität
g*$_{H,rel}$ = 47
g*$_{C,rel}$ = 100

Ausgabe: Farbmetrisches Reflexions-System ORS18
für Buntton *h* = lab*h = 271/360 = 0.754*
lab*tch* und *lab*nch

D65: Buntton B
LCH*Ma: 42 45 271
rgb*Ma: 0.0 0.49 1.0

Dreiecks-Helligkeit

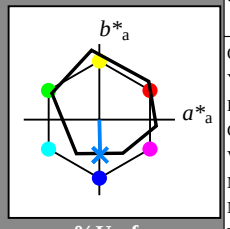

%Umfang
u*$_{rel}$ = 93

ORS18; adaptierte CIELAB-Daten

	$L^*=L^*_a$	a^*_a	b^*_a	$C^*_{ab,a}$	$h^*_{ab,a}$
O_{Ma}	47.94	65.37	50.52	82.62	38
Y_{Ma}	90.37	−10.27	91.77	92.34	96
L_{Ma}	50.9	−62.79	34.95	71.87	151
C_{Ma}	58.62	−30.35	−45.01	54.3	236
V_{Ma}	25.71	31.11	−44.42	54.24	305
M_{Ma}	48.13	75.27	−8.35	75.73	354
N_{Ma}	18.01	0.0	0.0	0.0	0
W_{Ma}	95.41	0.0	0.0	0.0	0
R_{CIE}	39.92	58.66	26.98	64.56	25
J_{CIE}	81.26	−2.17	67.76	67.79	92
G_{CIE}	52.23	−42.26	11.75	43.87	164
B_{CIE}	30.57	1.15	−46.84	46.87	271

%Regularität
g*$_{H,rel}$ = 57
g*$_{C,rel}$ = 59

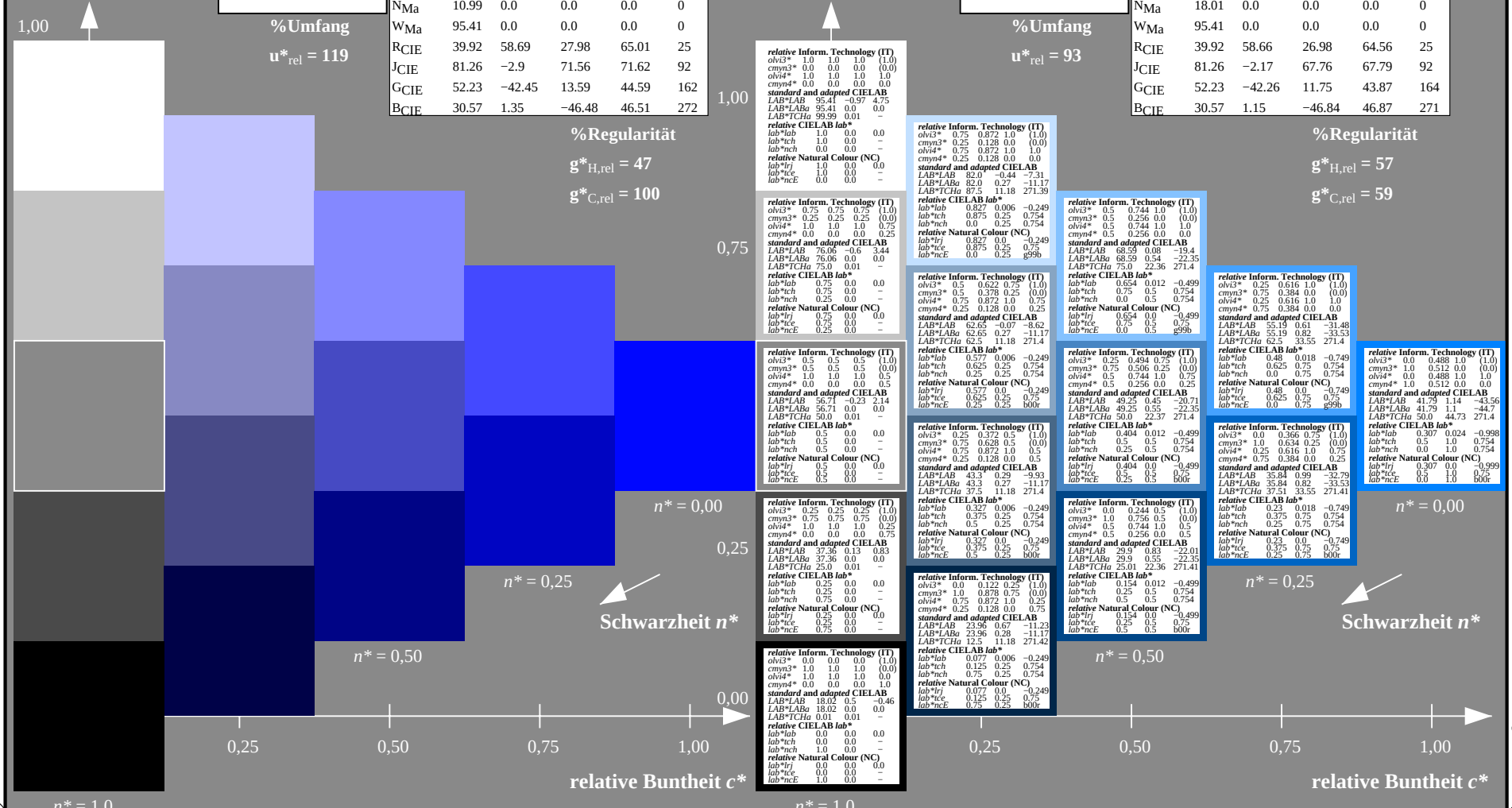

UG470−7, 5 stufige Reihen für konstanten CIELAB Buntton 272/360 = 0.755 (links)

5 stufige Reihen für konstanten CIELAB Buntton 271/360 = 0.754 (rechts)

BAM-Prüfvorlage UG47; Farbmetrik-Systeme NRS11 & ORS18 input: *cmy0* setcmykcolor*
D65: 5stufige Farbreihen und Koordinaten-Daten für 10 Bunttöne output: *olv* setrgbcolor / w* setgray*